

## افزایش زیست‌فعالی هیدروکسی آپاتیت از طریق جانشینی سیلیسیم

عالیه امینیان<sup>۱</sup>، مهران صولتی‌هشجین<sup>۲\*</sup>، علی صمدی کوچک‌سرایی<sup>۳</sup>، فرهاد بخشی<sup>۴</sup>، ارغوان فرزادی<sup>۵</sup>

- ۱- کارشناسی ارشد، گروه بیومتریال، دانشکده مهندسی پزشکی، دانشگاه صنعتی امیرکبیر (پلی تکنیک تهران)، تهران، ایران
- ۲- دانشیار، گروه بیومتریال، دانشکده مهندسی پزشکی، دانشگاه صنعتی امیرکبیر (پلی تکنیک تهران)، تهران، ایران
- ۳- استادیار، گروه بیوتکنولوژی، مرکز تحقیقات سلولی مولکولی، دانشگاه علوم پزشکی ایران، تهران، ایران
- ۴- دانشجوی دکتری تخصصی، گروه بیومتریال، دانشکده مهندسی پزشکی، دانشگاه صنعتی امیرکبیر (پلی تکنیک تهران)، تهران، ایران
- ۵- کارشناسی ارشد، گروه بیومتریال، دانشکده مهندسی پزشکی، دانشگاه صنعتی امیرکبیر (پلی تکنیک تهران)، تهران، ایران

پذیرش مقاله: ۰۵/۰۵/۸۹

دریافت مقاله: ۲۴/۰۲/۰۸

### چکیده

هدف: سیلیسیم یک عنصر مؤثر در فرآیند بلوری شدن استخوان است، بنابراین هیدروکسی آپاتیت با جانشینی سیلیسیم می‌تواند یک بیوسرامیک مناسب به عنوان ماده جایگزین استخوان باشد.

مواد و روش‌ها: هیدروکسی آپاتیت استوکیومتری (HA) و هیدروکسی آپاتیت با جانشینی سیلیسیم (Si-HA) محتوى مقادیر متفاوتی از سیلیسیم جانشین شده با موفقیت به روش هیدروترمال با استفاده از مواد اولیه  $(\text{NH}_4)_2\text{HPO}_4$ ,  $\text{Ca}(\text{NO}_3)_2$ ,  $(\text{NH}_4)_3\text{PO}_4$  و تتراتوکسی سیلان  $[\text{Si}(\text{OCH}_2\text{CH}_3)_4]$  سنتز شد.

نتایج: بخش‌های بلوری، ترکیب شیمیایی، ریزساختار و ریخت‌شناسی نمونه‌های سنتز شده، با استفاده از روش‌های پراش پرتو ایکس (XRD)، انتقال فوریه فروسرخ (FTIR)، پلاسمای جفت شده القابی (ICP-AES) و میکروسکوپ الکترونی رویشی (SEM) بررسی شد. نتایج، جانشینی سیلیسیم در ساختار آپاتیت را تأیید کرد و نشان داد که برای حفظ تعادل بار در اثر جانشینی گروه سیلیکات ( $\text{SiO}_4^{4-}$ ) به جای گروه فسفات ( $\text{PO}_4^{3-}$ ), بخشی از گروه هیدروکسیل (OH<sup>-</sup>) موجود در ساختار حذف شده و ثوابت شبکه آن نیز در مقایسه با آپاتیت استوکیومتری تغییر می‌کند.

نتیجه‌گیری: جانشینی سیلیسیم در ساختار آپاتیت، رشد ذرات هیدروکسی آپاتیت با جانشینی سیلیسیم را محدود و باعث کاهش بلورینگی آن نیز می‌شود؛ بنابراین انحلال پذیری هیدروکسی آپاتیت با جانشینی سیلیسیم افزایش یافته و در نتیجه هیدروکسی آپاتیت با جانشینی سیلیسیم رفتار زیست‌فعالی بهتری نسبت به هیدروکسی آپاتیت استوکیومتری دارد. براساس بررسی‌های زیستی، انکرباسیون نمونه‌ها در مایع شبیه‌سازی شده بدن و آزمون MTT (آزمون دی‌متیل تیازول)، هیدروکسی آپاتیت با جانشینی سیلیسیم رفتار زیست‌فعالی بهتری در مقایسه با هیدروکسی آپاتیت خالص دارد.

کلید واژگان: هیدروترمال، هیدروکسی آپاتیت، جانشینی، سیلیسیم، زیست‌فعالی

### ۱- مقدمه

در بین بیومتریال‌های (Biomaterials) سرامیکی (Biomaterials) سرامیک‌ها: (Bioceramics)، خانواده کلسیم- فسفات‌ها از

\*نشانی مکاتبه: تهران، دانشگاه صنعتی امیرکبیر، دانشکده مهندسی پزشکی، خیابان حافظ، شماره ۴۲۴، کد پستی: ۱۵۹۱۶۳۴۳۱۱

Email: solati@aut.ac.ir

شیمیابی می‌شود، بلکه دوره درمان و ترمیم استخوان در برخی جانشینی‌ها از جمله جانشینی Si را به مقدار قابل توجهی کوتاه‌تر می‌کند [۲].

یکی از عناصری که بررسی‌های فراوانی در مورد اثر جانشینی آن در ساختار آپاتیت انجام می‌شود، Si است. تحقیقات نشان می‌دهد عنصر Si اولین جزء دخیل در فرآیند تبلور زیستی (Biomineralization) استخوان است و در مکان‌های فعال در حال آهکی شدن (Calcification)، تجمع می‌یابد و حضور Si محلول نشان داده شده است که به‌طور مستقیم در فرآیند کانی شدن (Mineralization) استخوان نقش دارد [۲، ۵-۱۳]. نقش بیولوژیک Si اولین بار توسط کارلیسل (Carlisle) کشف شد [۱۴]. در واقع Si باعث افزایش سرعت استخوان‌سازی می‌شود. در اثر کمبود Si، استخوان‌ها تغییر شکل می‌دهند و میزان کلاژن موجود در استخوان و غضروف کاهش می‌یابد [۱۴-۱۸]. در حقیقت حضور Si در ساختار HA سبب افزایش زیستفعالی آن می‌شود [۲-۹]. این بدان معناست که توانایی کاشتنی (Implant) برای برقراری اتصال شیمیابی با استخوان افزایش می‌یابد. این جانشینی استخوان‌سازی و اجرای درست نقش کاشتنی را تضمین می‌کند. دانشمندان زیادی روی این موضوع کار کرده‌اند و اصرار دارند که در این جایگزینی Si یا  $\text{SiO}_4^{4-}$  جایگزین فسفات یا  $\text{PO}_4^{3-}$  می‌شود [۱۱-۲۵]. روش‌های زیادی برای سنتز هیدروکسی آپاتیت با جانشینی سیلیسیم (Si-HA) (Substituted Hydroxyapatite: Si-HA) بیان شده است که از میان آن‌ها می‌توان به سل-ژل [۱]، واکنش (wet chemistry) [۷]، شیمی تر (wet chemistry) [۱۲] و هیدروترمال (Hydrothermal) [۱۸] اشاره کرد که هر کدام از آن‌ها، مزايا و محدودیت‌های خاص خود را دارند. اما روش هیدروترمال معمولاً سبب تولید موادی با بلورینگی بالاتر و نسبت کلسیم (Ca) به فسفر (P) (Ca/P) نزدیک به میزان استوکیومتری (Stoichiometric) (1/۶۷) می‌شود [۱۸، ۲۶]. در این تحقیق سعی شده HA استوکیومتری و HA غیراستوکیومتری با جانشینی Si با استفاده از روش هیدروترمال

اهمیت بیشتری در بین مواد جایگزین استخوان برخوردارند، زیرا کلسیم-فسفات‌ها از نظر ساختاری و شیمیابی به بافت سخت بدن (استخوان‌ها و دندان‌ها) بسیار شبیه هستند. یکی از معروف‌ترین اعضای این مجموعه، هیدروکسی آپاتیت (Hydroxyapatite) (HA) با فرمول شیمیابی  $\text{Ca}_{10}(\text{PO}_4)_6(\text{OH})_2$  است. این دسته از بیوسرامیک‌ها از زیست‌سازگاری (Biocompatibility) فوق العاده بالایی برخوردارند، به همین دلیل از این مواد به خصوص HA-به‌طور گستره‌ای در مهندسی پزشکی و جانشینی بافت سخت استفاده می‌شود [۱-۴]. با وجود خواص مطلوب HA، از جمله زیست‌سازگاری و عدم سمیت، میزان زیستفعالی (Bioactivity) و استخوان‌زایی (Osteogenesis) آن در مقایسه با برخی شیشه‌های زیست‌فعال و شیشه‌سرامیک‌ها کم است که این نکته استفاده از این ماده را در برخی کاربردها محدود می‌کند [۵].

از طرف دیگر دانشمندان دریافتند که حضور یون‌های دیگر در ترکیب و ساختار آپاتیت بدن (آپاتیت بیولوژیک) منجر به انحراف آن نسبت به HA استوکیومتری (Stoichiometric) سنتز شده می‌شود. به عبارت دیگر، جانشینی یون‌های مختلف از قبیل سدیم (Na)، میزیوم (Mg)، پاتاسیم (K)، مس (Cu)، آلومینیوم (Al)، آهن (Fe)، کلر (Cl)، فلور (F) و سیلیسیم (Si) در ترکیب شیمیابی و ساختار آپاتیت باعث ایجاد نوعی آپاتیت غیراستوکیومتری می‌شود. با وجود این‌که حضور این یون‌ها در ساختار آپاتیت بسیار ناچیز و گاهی حتی کمتر از ۱ درصد است، این یون‌ها نقش بسیار مهمی را در فعالیت‌های بیولوژیکی HA در بدن ایفا می‌کند [۲، ۵-۱۳].

با توجه به مطالب بیان شده، امروزه سعی بر آن است که HA سنتز شده شباهت بیشتری با آپاتیت بیولوژیک داشته باشد. به همین منظور تحقیقات گستره‌ای در زمینه جانشینی عناصر مختلف در ساختار آپاتیت در حال انجام است. نکته جالب توجه این است که جانشینی یون‌های دیگر در ساختار آپاتیت نه تنها منجر به بهبود زیست‌سازگاری، زیست‌فعالی، خواص مکانیکی و تشابه آن با آپاتیت بدن از لحاظ ترکیب

این محلول اضافه شد. سپس با استفاده از آمونیاک ۲۲ درصد (هیدروکسید آمونیم ( $\text{NH}_4\text{OH}$ )), با شناسه pH محلول کلسیمی حدوداً به بالای ۱۰ رسانده شد (حدود ۵-۲ سی سی). همزمان در یک بشر دیگر به عنوان منبع تأمین کننده P، محلول  $0/25$  مولار از نمک دی آمونیوم هیدروژن فسفات یا نمک تری آمونیوم فسفات سه آبه تهیه شد. مجدداً با استفاده از آمونیاک، pH این محلول نیز حدوداً به بالای ۱۱ رسانده شد (حدود ۳۰-۲۵ سی سی). برای سترن Si-HA با توجه به درصد جانشینی Si به مقدار لازم TEOS نیز به محلول دوم اضافه شد [۱۸، ۲، ۱].  
مقدار نمک‌های هر محلول طوری تنظیم می‌شود که نسبت مولی بین Ca و P یا نسبت مولی بین Ca و Si به اضافه Si برابر با  $1/67$  (مطابق با فرمول شیمیابی HA) باشد. آنگاه محلول فسفوئی به صورت قطره قطره (Drop wise) به محلول کلسیمی اضافه شد. سپس محلول نهایی به داخل محفظه‌های اتوکلاو (Autoclave) ریخته و داخل خشک‌کن (Oven) با دمای ۲۰۰ درجه سانتی‌گراد به مدت ۸ ساعت، تحت شرایط هیدروترمال قرار گرفت. روی رسوب خارج شده از محفظه‌های اتوکلاو به وسیله سانتریفیوژ، عملیات شستشو و تغليظ انجام شد [۴-۱]. سپس رسوب به دست آمد، ۱۲ ساعت در آون هوا (در دمای ۱۰۰ درجه سانتی‌گراد) خشک شد [۱۸، ۷، ۲]. میزان لازم از هر یک از مواد اولیه برای سترن پودر با درصد مشخص از جانشینی Si در جدول‌های (۱-الف) و (۱-ب) آمده است.

جدول ۱ درصد مواد اولیه بدکار برده شده برای سترن ۱-الف) نمونه‌های گروه اول (دی آمونیوم هیدروژن فسفات)، ۱-ب) نمونه‌های گروه دوم (تری آمونیوم فسفات)

۱-الف					
نمونه‌های سترن شده با دی آمونیوم	تعداد $(\text{Ca}(\text{NO}_3)_2)$ بر مول	تعداد $(\text{NH}_4)_3\text{PO}_4$ بر مول	تعداد (TEOS) بر مول ( $\times 10^{-4}$ )	هیدروژن فسفات	خالص HA
D0.0SC*	۰/۰۲۵	۰/۰۱۵۰	۰/۰۰		D0.0SC*
D0.8SC*	۰/۰۲۵	۰/۰۱۴۳	۰/۰۷۱		۰/۰۸ درصد وزنی Si در HA
D1.5SC*	۰/۰۲۵	۰/۰۱۳۲	۱/۳۴		۱/۰ درصد وزنی Si در HA

سترن شود و سپس تغییرات رفتار زیست‌فعالی آن در اثر حضور Si مورد بررسی قرار گیرد. افزون بر آن، در این کار از دو ماده اولیه متفاوت به عنوان منبع فسفر برای سترن HA و Si-HA استفاده و نتایج آن‌ها با یکدیگر مقایسه شده است.

## ۲- مواد و روش‌ها

### ۲-۱- مواد اولیه

استوکیومتری HA و HA غیراستوکیومتری با جانشینی Si توسط روش هیدروترمال با استفاده از مواد اولیه، تری آمونیوم فسفات ۳ آبه  $[(\text{NH}_4)_3\text{PO}_4 \cdot 3\text{H}_2\text{O}]$  (Ridel-de Haen) (برای تهیه گروه اول نمونه‌ها) یا دی آمونیوم هیدروژن فسفات  $[(\text{NH}_4)_2\text{HPO}_4]$  (Merck) (برای تهیه گروه دوم نمونه‌ها) به عنوان منبع فسفر (P)، کلسیم-نیترات ۴ آبه  $[\text{Ca}(\text{NO}_3)_2 \cdot 4\text{H}_2\text{O}]$  (Prolabo Merck Eurolab)، ترا اتوکسی سیلان [Tetra Ethoxy Silane:  $(\text{C}_8\text{H}_{20}\text{O}_4\text{Si})$ ] (Merck) (به عنوان منبع Si) سترن شد.

### ۲-۲- روش سترن پودر

برای سترن HA و Si-HA ابتدا به عنوان منبع تأمین کننده Ca، محلول  $0/5$  مولار از نمک کلسیم-نیترات ۴ آبه تهیه و سپس مقدار کمی Polyethylene Glycol (PEG) (پلی اتیلن گلایکول با شناسه Sigma Aldrich No.25322-68-3 به گلایکول با شناسه ۳-۶۸-۲۵۳۲۲) به

۱- ب					
نمونه‌های سنتز شده با تری‌آمونیوم	تعداد $(\text{Ca}(\text{NO}_3)_2)$ بر مول	تعداد $(\text{NH}_4)_3\text{PO}_4$ بر مول	تعداد $(\text{TEOS})$ بر مول ( $\times 10^{-4}$ )	فسفات	
HA	۰/۰۲۵	۰/۰۱۵۰	۰/۰	HA T0.0SC*	
HA در وزنی Si ۰/۸	۰/۰۲۵	۰/۰۱۴۳	۰/۷۱	T0.8SC*	
HA در وزنی Si ۱/۵	۰/۰۲۵	۰/۰۱۳۲	۱/۳۴	T1.5SC*	
HA در وزنی Si ۱/۵	۰/۰۲۵	۰/۰۱۳۲	۱/۳۴	T1.5SR**	

\*: کلسینه شده

\*\*: کلسینه نشده

تحلیل ICP بررسی شد که نتایج آن در جدول ۲ آورده شده است. نتایج، حضور Si در ساختار HA را نشان می‌دهد. البته درصد Si جایگزین شده در هر دو گروه مواد سنتز شده از درصد مواد اولیه مورد استفاده کمتر است که احتمالاً بخشنی از یون‌های Si به صورت واکنش نداده در محلول مادر باقی مانده است. از طرفی به دلیل حضور  $\text{CO}_2$  در حین انجام واکنش احتمال تشکیل کربنات-HA وجود دارد. از آنجا که گروه کربنات می‌تواند جایگزین گروه فسفات در ساختار HA شود، این مطلب بر میزان جانشینی گروه سیلیکات در ساختار آپاتیت مؤثر است [۱۸، ۱]. نتایج نسبت Ca/P و Ca/(P+Si) نشان می‌دهد که اولاً نمونه‌های سنتز شده بسیار نزدیک به حالت استوکیومتری هستند، ثانیاً با مقایسه نسبت P/Ca با Ca/(P+Si) در نمونه‌های Si-HA مشخص می‌شود که به احتمال زیاد Si جایگزین فسفات در ساختار آپاتیت شده است. ICP نکته قابل استنباط دیگر از نتایج حاصل از تجزیه و تحلیل این است که میزان جانشینی Si در نمونه‌هایی که از تری‌آمونیوم فسفات به عنوان منبع P در سنتز آنها استفاده شده بیشتر از نمونه‌هایی است که در سنتز آنها به عنوان منبع P از دی‌آمونیوم هیدروژن فسفات استفاده شده است.

### XRD - ۲-۳

نتایج XRD پودرهای سنتز شده در هر دو گروه در

### ۳-۲- مشخصه‌یابی پودرهای به دست آمده

ترکیب شیمیایی نمونه‌ها با استفاده از روش پلاسمای جفت (Inductively Coupled Plasma Atomic Emission Spectroscopy: ICP-AES) تعیین شد. بخش‌ها و گروه‌های عاملی موجود در نمونه‌ها به ترتیب با استفاده از روش‌های پراش پرتو ایکس (X-Ray Diffraction: Siemens D500 Diffractometer) و انتقال فوریه (Fourier Transform Infrared Spectroscopy: FTIR) بررسی شد. برای مطالعه ریخت‌شناصی (Vector 33) و ریزساختار نمونه‌ها، میکروسکوپ الکترونی (Morphology) (Scanning Electron Microscope: SEM) روبیشی (Philips XL30) به کار گرفته شد. سرانجام برای بررسی میزان زیست‌فعالی و عدم سمیت، نمونه‌ها در انکوباتور در مایع شبیه‌سازی شده بدن (Simulated Body Fluid: SBF) [۲۷] (3-(4,5-Dimethylthiazol-2-MTT قرار گرفت و آزمون (2,5-Diphenyltetrazolium Bromide) [۱۶] نیز روی آنها انجام شد.

### ۳- نتایج

#### ۱-۳- تجزیه و تحلیل ICP

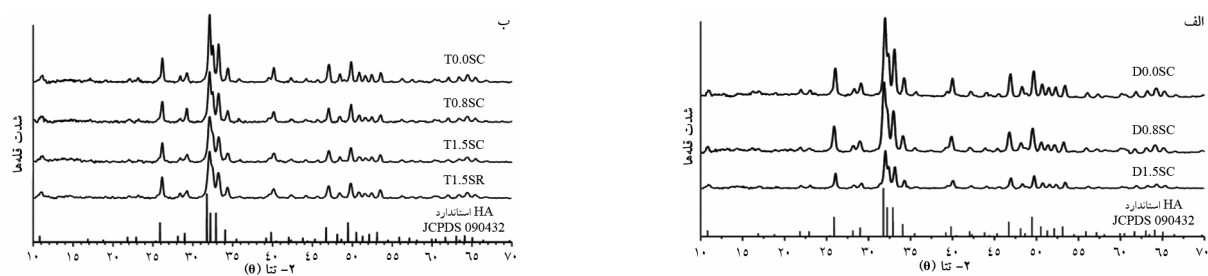
ترکیب شیمیایی نمونه‌های سنتز شده توسط تجزیه و

در الگوهای پراش نمونه‌های سنتز شده، حضور ندارد. در نگاه اول، حضور اثری بر ساختار HA نداشته است. اما با دقت بیشتر در الگوهای پراش آشکار می‌شود که حضور Si تا حدی سبب کاهش شدت قله‌ها شده که این مطلب نشانه کاهش بلورینگی ساختار آپاتیت در اثر حضور Si است.

نمودارهای (۱-الف) و (۱-ب) نشان داده شده است. با مقایسه الگوهای XRD پودرهای سنتز شده هر دو گروه با کارت استاندارد الگوی پراش HA استوکیومتری (JCPDS 09-0432) مشخص می‌شود که هیچ قله (Peak) دیگری مربوط به بخش‌های دیگر از جمله اکسید Si یا دیگر کالسیم-فسفات‌ها

جدول ۲ درصد وزنی عناصر مختلف موجود در نمونه‌های به دست آمده از تجزیه و تحلیل ICP و نسبت Ca/P و Ca/(P+Si) نمونه‌ها

Ca/P (نسبت اتمی)	Ca/(P+Si) (نسبت اتمی)	Ca	درصد وزنی عناصر	P	Si	نمونه
۱/۶۶۷	۱/۶۶۷	۳۹/۸۸	۱۸/۴۹	۰/۰۰		(T0.0SC) HA
۱/۶۷۳	۱/۶۵۶	۳۹/۷۹	۱۷/۷۷	۰/۷۲		۰/۸ درصد وزنی Si در HA (T0.8SC)
۱/۶۸۷	۱/۶۵۷	۳۹/۷۵	۱۷/۱۹	۱/۳۵		۱/۵ درصد وزنی Si در HA (T1.5SC)
۱/۶۶۶	۱/۶۶۶	۳۹/۷۹	۱۸/۵۴	۰/۰۰		(D0.0SC) HA
۱/۶۱۵	۱/۶۴۹	۳۹/۷۳	۱۷/۹	۰/۶۵		۰/۸ درصد وزنی Si در HA (D0.8SC)
۱/۷۷۶	۱/۶۵۴	۳۹/۷	۱۷/۲۸	۱/۲۷		۱/۵ درصد وزنی Si در HA (D1.5SC)

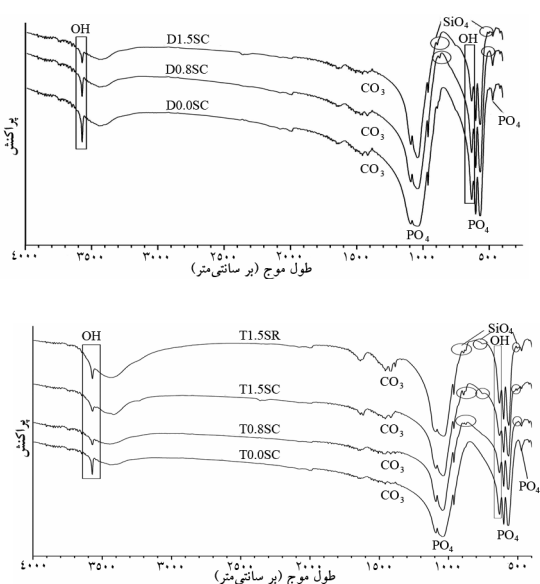


نمودار ۱ الگوهای پراش پرتو ایکس نمونه‌های سنتز شده با (الف) دی‌آمونیوم هیدروژن فسفات (گروه اول)، (ب) تری‌آمونیوم فسفات (گروه دوم)

جدول ۳ ثبات شبکه محاسبه شده نمونه‌ها با توجه به داده‌های XRD و رابطه (۱)

نمونه	a (آنگستروم)	c (آنگستروم)
D0.0SC	۹/۴۱۸۵	۶/۸۷۴۰
D0.8SC	۹/۴۱۶۰	۶/۸۷۴۶
D1.5SC	۹/۴۱۵۸	۶/۸۷۷۴
T0.0SC	۹/۴۰۸۲	۶/۸۷۳۵
T0.8SC	۹/۴۰۶۵	۶/۸۷۴۰
T1.5SC	۹/۴۰۵۶	۶/۸۷۹۰
T1.5SR	۹/۴۰۶۰	۶/۸۷۹۴

[۱۸، ۲] و اندازه بلورک در قله مربوط به صفحه (hkl)  $D_{hkl}$  مورد نظر است. نتایج بدست آمده در نمودار ۲ نشان داده شده است. نتایج نشان می دهد که با افزایش میزان جانشینی Si اندازه بلورک کاهش می یابد. در حقیقت حضور Si در ساختار آپاتیت رشد بلورکها را متوقف می کند.



نمودار ۳ طیف های FTIR نمونه های ستر شده با (الف) دی آمونیوم هیدروژن فسفات (گروه اول)، (ب) تری آمونیوم فسفات (گروه دوم)

### ۳-۳- تجزیه و تحلیل FTIR

طیف های FTIR هر دو گروه نمونه ها در نمودار (۳-الف) و (۳-ب) آمده است. در کلیه طیف ها وجود گروه هیدروکسیل در عدد موج های ۳۵۷۱ بر سانتی متر ( $\text{cm}^{-1}$ ) و ۶۳۱ بر سانتی متر نشان دهنده گروه هیدروکسیل در ساختار HA است و حضور گروه های فسفات در عدد موج های ۴۶۹ بر سانتی متر، ۵۶۴ بر سانتی متر، ۹۵۸ بر سانتی متر، ۹۵۷ بر سانتی متر، ۱۰۳۱ بر سانتی متر، ۱۰۸۵ بر سانتی متر نشان دهنده گروه های فسفات موجود در ساختار HA است. اغلب به دلیل سطح ویژه بالایی که پودرهای آپاتیتی دارد، مقداری آب در سطح آنها جذب می شود. این آب جذب شده با یک قله پهن

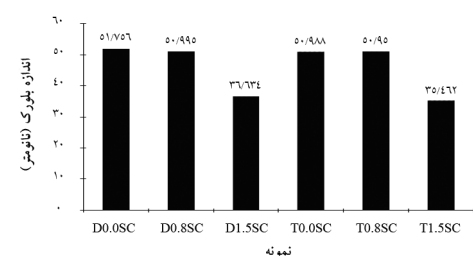
با استفاده از داده های تجزیه و تحلیل XRD بدست آمده از نمونه های ستر شده و به کمک رابطه (۱) [۲] توسط نرم افزار Microsoft Excel ۲۰۰۷ ثبات شبکه مربوط به هر یک از نمونه ها محاسبه شد و نتایج در جدول ۳ نشان داده شده است.

$$\frac{1}{d^2} = \frac{3}{4} * \frac{h^2 + hk + k^2}{a^2} + \frac{l^2}{c^2} \quad \text{رابطه (۱)}$$

ثبت شبکه اندازه گیری شده در مورد نمونه های حاوی جانشینی Si در مقایسه با HA استوکیومتری تغییری را نشان می دهد، به طوری که با افزایش میزان Si و رو دی a کاهش و c افزایش می یابد، این تغییر خود دلیل آشکاری برای اثبات حضور Si در ساختار آپاتیت است.

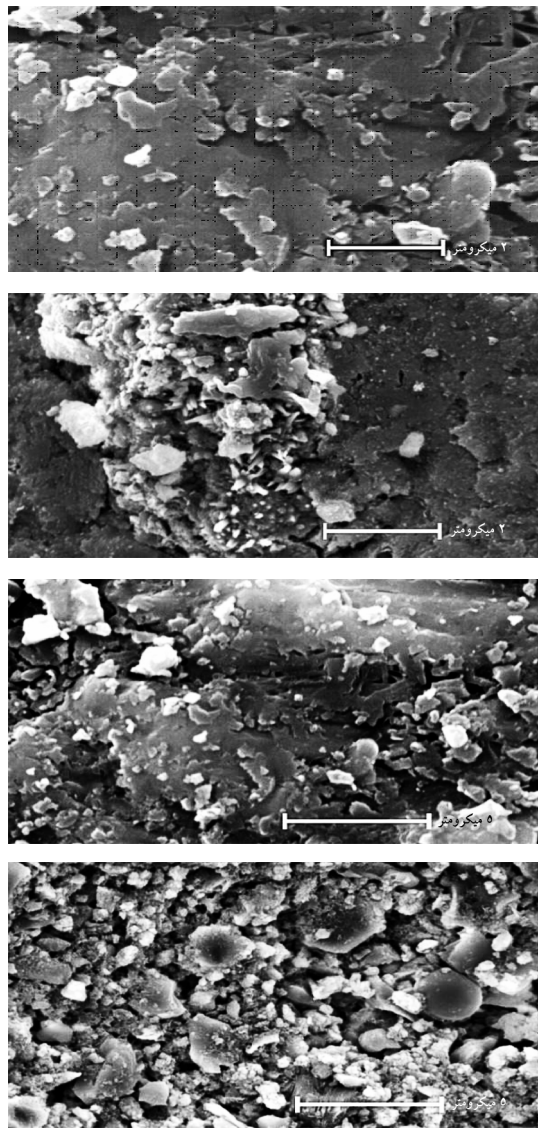
براساس فرمول شرر (Scherrer) [رابطه (۲)] و به کمک نرم افزار Microsoft Excel ۲۰۰۳ با استفاده از داده های XRD، اندازه بلورک ها با استفاده از قله های (۳۱۰)، (۰۰۲) و (۲۲۲) محاسبه شد.

$$D_{hkl} = \frac{k\lambda}{\beta_{1/2} \cos\theta} \quad \text{رابطه (۲)}$$

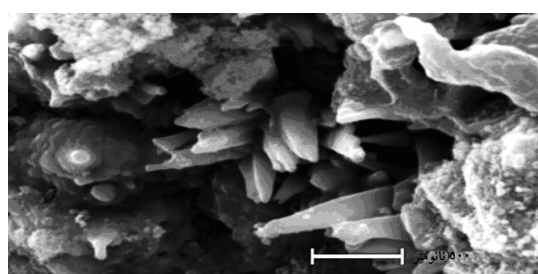


نمودار ۲ نمودار اندازه بلورک محاسبه شده برای نمونه ها با استفاده از داده های XRD و فرمول شرر

در رابطه ۲،  $\lambda$  طول موج متناظر با Cu-K $\alpha$  و برابر با  $۱/۵۴۰.۶$  آنگستروم،  $\theta$  زاویه مربوط به صفحه (hkl) مورد نظر،  $\beta_{1/2}$  پهنای قله مربوط به صفحه (hkl) مورد نظر در نصف شدت بیشینه بر حسب رادیان،  $k$  یک عدد ثابت که بسته به ظاهر بلور تغییر می کند و در اینجا  $۰/۹$  در نظر گرفته شده



شکل ۱ تصویر SEM نمونه‌های (الف) HA و (ب) Si-HA بعد از ۸ روز انکوباسیون در SBF (ج) HA و (د) Si-HA بعد از ۱۴ روز انکوباسیون در SBF



شکل ۲ ریخت‌شناسی جوانه‌های آپاتیت تشکیل شده روی نمونه‌های HA سنتز شده

در محدوده ۳۰۰-۳۵۰۰ بر سانتی‌متر و یک قله تندر ۱۶۳۶ بر سانتی‌متر مشخص شده است [۱، ۳، ۴، ۲۸، ۲۹]. با مقایسه طیف FTIR نمونه‌های (D0.8SC, Si-HA) با نمونه‌های (D0.0SC, HA) D1.5SC, T0.8SC, T1.5SC) (T0.0SC) ۳ قله دیگر نیز در عدد موج‌های ۴۹۰ بر سانتی‌متر، ۷۶۰ بر سانتی‌متر و ۸۸۹ بر سانتی‌متر دیده می‌شود که مربوط به وجود گروه سیلیکات- $\text{SiO}_4^{4-}$  و پیوند Si-O در ساختار HA به‌دست آمده است [۲، ۱۸، ۱۹، ۳۰، ۳۱].

#### SEM - ۴-۳

همان‌طور که نتایج تجزیه و تحلیل ICP نشان داد، میزان جانشینی Si در گروه دوم پودرهای سنتز شده بیشتر از گروه اول بود، به همین دلیل پودرهای گروه دوم برای بررسی‌های زیستی انتخاب شد. برای بررسی رفتار زیست‌فعالی پودرهای آپاتیتی سنتز شده دارای جانشینی Si مانند T1.5SC (Si-HA) Si و مقایسه آن با رفتار زیست‌فعالی نمونه‌های فاقد جانشینی Si یعنی آپاتیت‌های استوکیومتری (HA) مانند T0.0SC از روش غوطه‌وری قرص‌های ساخته شده از این پودرها در SBF و سپس خروج آنها در زمان‌های ۸ و ۱۴ روز و بررسی سطح آنها با SEM استفاده شد. شکل ۱ تصاویر SEM از سطح نمونه‌های انکوباسیون شده در SBF به ترتیب بعد از ۸ و ۱۴ روز انکوباسیون را نشان می‌دهد. بعد از ۸ روز جوانه‌زنی آپاتیت در سطح نمونه Si-HA قابل تشخیص است؛ در صورتی که در نمونه HA چندان جوانه‌زنی آپاتیت دیده نمی‌شود. در هر دو نمونه جوانه‌زنی آپاتیت به خصوص بعد از ۱۴ روز کاملاً مشخص است. اما در نمونه‌های Si-HA میزان این جوانه‌زنی خیلی بیشتر بود و جوانه‌ها دارای رشد جهت‌دار هستند و شکلی بیشتر شبیه به یک مثلث متساوی الساقین دارند. ریخت‌شناسی این جوانه‌ها را می‌توان در شکل ۲ دید. یکی از دلایل جوانه‌زنی بیشتر و سریع‌تر نمونه‌های Si-HA، احتمالاً بلورینگی کمتر این نمونه‌ها نسبت به نمونه‌های استوکیومتری و در نتیجه قابلیت اتحال بیشتر آن‌هاست.

آزمون MTT براساس دستورالعمل Sigma انجام پذیرفت و چگالی نوری (Optical Density: OD) برای هریک از نمونه‌ها در طول موج ۵۷۰ نانومتر ثبت شد. نتایج بدست آمده در جدول ۴ آورده شده است. نتایج نشان می‌دهد که سرعت تکثیر سلول‌های استخوان‌ساز روی سطح نمونه‌های Si-HA بیشتر از HA استوکیومتری است و میزان بهینه برای درصد جانشینی Si با بیشترین سرعت تکثیر سلولی، ۰/۸ درصد بدست آمد.

### ۳-۵- آزمون MTT

برای آزمون MTT، سلول‌های استخوان‌ساز (Osteoblast) (تهیه شده از بانک سلولی ایران) روی قرص‌های تهیه شده از پودرهای ستر شده (گروه دوم) به مدت ۴ روز کشت شد و سرعت تکثیر سلول‌ها روی سطح نمونه‌ها با سرعت تکثیر این سلول‌ها روی سطح نمونه شاهد مقایسه شد. کلیه نمونه‌ها عدم سمتی را نشان داد. برای هریک از پودرهای (T0.0SC, T0.8SC, T1.5SC) نمونه برای این منظور آماده شده و

جدول ۴ نتایج آزمون MTT. OD های ثبت شده برای نمونه‌ها

P value	قرات کولوریمتری <sup>*</sup> میانگین OD ( $\pm$ انحراف معیار)	تعداد نمونه‌ها	نمونه
<0.001	۰/۹۵۳ ( $\pm$ ۰/۰۲۹)	۸	استئوبلاست روی نمونه کنترل
<0.001	۰/۷۵۸ ( $\pm$ ۰/۰۲)	۸	T0.8SC
<0.001	۰/۵۹۸ ( $\pm$ ۰/۰۳۵)	۸	T1.5SC
<0.001	۰/۵۲۴ ( $\pm$ ۰/۰۲۶)	۸	T0.0SC

Colorimetric reading :\*

بلورینگی به نوعه خود افزایش انحال‌پذیری و در نتیجه بهبود زیستفعالی را در پی دارد. می‌توان نتیجه گرفت که حضور Si رفتار زیستفعالی HA را افزایش می‌دهد. حضور Si و ضمناً از دست دادن OH<sup>-</sup> به دلیل جانشینی گروه سیلیکات با گروه فسفات سبب تغییر پارامترهای شبکه، کاوش a و افزایش c، می‌شود. تصاویر SEM از سطح نمونه‌های انکوباسیون شده در SBF تشکیل سریع تر و با میزان بیشتر جوانه‌های آپاتیت روی سطح Si-HA در مقایسه با HA استوکیومتری را نشان می‌دهد. نتایج حاصل از انکوباسیون مواد در SBF و کشت سلولی و آزمون MTT نیز بهبود زیستفعالی را تأیید می‌کند.

### ۵- تشکر و قدردانی

نویسنده‌گان این مقاله کمال تشکر و قدردانی خود را از مسئولین «مرکز سلولی مولکولی دانشگاه ایران» و «آزمایشگاه

### ۴- بحث

استوکیومتری و Si-HA به روش هیدروترمال با FTIR نمونه‌ها وجود عنصر Si و همچنین پیوند Si-O در قله‌های ۴۹۰، ۷۶۰ و ۸۸۹ بر سانتی‌متر که نشانگر جانشینی Si در ساختار HA است را اثبات و نتایج ICP نیز این نکته را تأیید می‌کند. مشخص شد که میزان جانشینی Si در ساختار HA هنگامی که از تری‌آمونیوم فسفات به عنوان منع P استفاده شود، در مقایسه با زمانی که از دی‌آمونیوم هیدروژن فسفات استفاده شود، بیشتر است، یعنی درصد Si جایگزین شده نزدیک‌تر به درصد Si وروودی است. با مقایسه الگوهای پراش پرتو ایکس Si-HA و HA به سایر حضور Si باعث تبدیل ساختار کریستالوگرافی HA به بخش‌ها یا تشکیل بخش‌های دیگر نمی‌شود و تنها باعث کاوش بلورینگی و کاوش اندازه بلورک‌های آپاتیت می‌شود. کاوش

بیوسرامیک دانشگاه صنعتی امیرکبیر» بابت حمایت‌ها و یاری

ایشان در این کار اعلام می‌دارند.

## ۶- منابع

- [1] Solati-Hashjin M. Effect of Powder Synthesis Route on Microstructure and Properties of Hydroxyapatite. Presented for the Ph.D., Tehran, Materials and Energy Research Center, 1997. (Persian)
- [2] Aminian A. Effect of Silicon Substitution on Bioactivity of Hydroxyapatite Nano-Particles synthesized by Hydrothermal Method. Presented for the M.Sc., Tehran, Amirkabir University of Technology, 2008. (Persian)
- [3] Bakhshi F. Biomimetic Synthesis and Characterization of Nanostructure Non-stoichiometric Hydroxyapatite. Presented for the M.Sc., Tehran, Amirkabir University of Technology, 2006. (Persian)
- [4] Goudarzi A. Control of Morphology and Size of Wet Chemically Synthesized Hydroxyapatite (HA). Presented for the M.Sc., Tehran, Amirkabir University of Technology, 2006. (Persian)
- [5] Porter AE, Patel N, Skepper JN, Best SM, Bonfield W. Comparison of in vivo dissolution processes in hydroxyapatite and silicon-substituted hydroxyapatite bioceramics. *Biomaterials* 2003; 24(25): 4609–20.
- [6] Best SM, Zou S, Brooks RA, Huang J, Rushton N, Bonfield W. The Osteogenic Behaviour of Silicon Substituted Hydroxyapatite. *Key Eng Mater (Bioceramics)* 2008; 20: 985-98.
- [7] Pietak AM, Reid JW, Stott MJ, Sayer M. Silicon substitution in the calcium phosphate bioceramics. *Biomaterials* 2007; 28(28): 4023–32.
- [8] Landi E, Sprio S, Sandri M, Tampieri A, Bertinetti L, Martra G. Development of Multisubstituted Apatites for Bone Reconstruction. *Key Eng Mater (Bioceramics)* 2008; 20: 171-4.
- [9] Eslami H, Solati-Hashjin M, Tahriri M. The comparison of powder characteristics and physicochemical, mechanical and biological properties between nanostructure ceramics of hydroxyapatite and fluoridated hydroxyapatite. *Mater Sci Eng C* 2009; 29(4): 1387-98.
- [10] Eslami H, Solati-Hashjin M, Tahriri M. Synthesis and Characterization of Nanocrystalline Fluorinated Hydroxyapatite Powder by Modified Wet-Chemical Process. *J Ceram Process Res* 2008; 9: 224-9.
- [11] Astala R, Calderin L, Yin X, Stott MJ. Ab Initio Simulation of Si-Doped Hydroxyapatite. *Chem Mater* 2006; 18(2): 413-22.
- [12] Porter AE, Best SM, Bonfield W. Ultrastructural Characterisation of Hydroxyapatite and Silicon-Substituted Hydroxyapatite. *Key Eng Mater (Bioceramics)* 2003; 15: 505-8.
- [13] Thian ES, Huang J, Best SM, Barber ZH, Bonfield W. Surface Wettability Enhances Osteoblast Adhesion on Silicon-Substituted Hydroxyapatite Thin Films. *Key Eng Mater (Bioceramics)* 2007; 19: 877-80.
- [14] Kim SR, Lee JH, Kim YT, Riu DH, Jung SJ, Lee YJ, Chung SC, Kim YH. Synthesis of Si, Mg substituted hydroxyapatites and their sintering behaviors. *Biomaterials* 2003; 24(8):

- 1389–98.
- [15] Gibson IR, Hing KA, Best SM, Bonfield W. Enhanced in vitro cell activity and surface apatite layer formation on novel silicon substituted hydroxyapatites. In: Ohgushi H, Hastings GW, Yoshikawa T, (Editors). Proceeding of the 12th International Symposium on Ceramics in Medicine, Nara, Japan, 1999; p: 191–4.
- [16] Saki M, Narbat MK, Samadikuchaksaraei A, Ghafouri HB, Gorjipour F. Biocompatibility study of a hydroxyapatite-alumina and silicon carbide composite scaffold for bone tissue engineering. *Yakhteh* 2009; 11(1): 55-60.
- [17] Botelho CM, Brooks RA, Best SM, Lopes MA, Santos JD, Rushton N, Bonfield W. Biological and Physical-Chemical Characterization of Phase Pure HA and SI-Substituted Hydroxyapatite by Different Microscopy Techniques. *Key Eng Mater (Bioceramics)* 2004; 16: 845-8.
- [18] Tang XL, Xiao XF, Liu RF. Structural characterization of silicon-substituted hydroxylapatite synthesized by a hydrothermal method. *J Mater Lett* 2005; 59(29-30): 3841-6.
- [19] Botelho CM, Lopes MA, Gibson IR, Best SM, Santos JD. Structural analysis of Si-substituted hydroxyapatite: zeta potential and X-ray photoelectron spectroscopy. *J Mater Sci Mater Med* 2002; 13(12): 1123-7.
- [20] Dorozhkin SV, Dorozhkina EI, Oktar FN, Salman S. A Simplified Preparation Method of Silicon-Substituted Calcium Phosphates According to Green Chemistry Principles. *Key Eng Mater (Bioceramics)* 2007; 19: 55-8.
- [21] Aizawa M, Patel N, Porter AE, Best SM, Bonfield W. Syntheses of Silicon-Containing Apatite Fibres by a Homogeneous Precipitation Method and Their Characterization. *Key Eng Mater (Bioceramics)* 2006; 18: 1129-32.
- [22] Marques PAAP, Magalhaes MCF, Correia RN, Vallet-Regi M. Synthesis and Characterisation of Silicon-Substituted Hydroxyapatite. *Key Eng Mater (Bioceramics)* 2001; 13: 247-50.
- [23] Patel N, Follon EL, Gibson IR, Best SM, Bonfield W. Comparison of Sintering and Mechanical Properties of Hydroxyapatite and Silicon-Substituted Hydroxyapatite. *Key Eng Mater (Bioceramics)* 2003; 15: 919-22.
- [24] Botelho CM, Brooks RA, Kawai T, Ogata S, Ohtsuki C, Best SM, Lopes MA, Santos JD, Rushton N, Bonfield W. In Vitro Analysis of Protein Adhesion to Phase Pure Hydroxyapatite and Silicon Substituted Hydroxyapatite. *Key Eng Mater (Bioceramics)* 2005; 17: 461-4.
- [25] Solla EL, Malz F, González P, Serra J, Jaeger C, León B. The Role of Si Substitution into Hydroxyapatite Coatings. *Key Eng Mater (Bioceramics)* 2008; 20: 175-8.
- [26] Andradea MC, Tavares Filgueirasa MR, Ogasawarab T. Hydrothermal nucleation of hydroxyapatite on titanium surface. *J European Ceram Soc* 2002; 22(4): 505-10.
- [27] Ravarian R, Moztarzadeh F, Solati-Hashjin M, Rabiee SM, Khoshakhlagh P, Tahriri M. Synthesis, characterization and bioactivity investigation of bioglass/hydroxyapatite composite. *J Ceram Int* 2009; 36(1): 291-7.
- [28] Hing KA, Revell PA, Smith N, Buckland T. Effect of silicon level on rate, quality and progression of bone healing within silicate-substituted porous hydroxyapatite scaffolds.

- Biomaterials 2006; 27(29): 5014–26.
- [29] Arcos D, Rodríguez-Carvajal J, Vallet-Regí M. The effect of the silicon incorporation on the hydroxylapatite structure. A neutron diffraction study. *J Solid State Sci* 2004; 6(9): 987-94.
- [30] Landi E, Tampieri A, Celotti G, Sprio S. Densification behaviour and mechanisms of synthetic hydroxyapatites. *J European Ceram Soc* 2000; 20(14-15): 2377-87.
- [31] Shi HB, Zhong H, Liu Y, Zhang FZ, Liang MC, Chen M. Preparation of Silicate Substituted Calcium Deficient Hydroxyapatite by Coprecipitation. *Key Eng Mater (Bioceramics)* 2007; 19: 83-6.